

6-5 東海・関東・伊豆地域における地下水等観測結果(2014年11月～2015年4月) (51)  
**The Variation of the Groundwater Level, Discharge Rate, Tilt meter,  
Three-Component Strain, and Subsidence in the Tokai, Kanto District and Izu  
Peninsula, Japan. (from Nov. 2014 to Apr. 2015) (51)**

産業技術総合研究所  
Geological Survey of Japan, AIST

2014年11月～2015年4月の半年間の東海・関東・伊豆地域の地下水等の観測結果を報告する。本報告では、観測井配置図(第1図)の図中の枠で示す4地域および第2図に示す地域に分けて表示する。6ヶ月間のデータを3ヶ月毎に示すとともに2年間の観測データを参考として示す(第3～20図)。また、浜岡・掛川における沈下等の観測結果(第21, 22図)についても示す。なお図中の印で、\$は保守を、\*は雨量補正不十分を、@は解析による見かけ上のギャップを、#はバッテリー消耗を、?は原因不明をそれぞれ表す。

東海地域中部：静岡栗原1の降水時の水位上昇は、降雨により地表から水が流れ込んだためと思われる。

東海地域南部：御前崎のガス流量計の調整を2014年12月12日と2015年3月13日に行い、分解能は従来と同じ(0.006L/h)で測定上限は約100L/hになった。ガス量の影響による見かけの水位変化が出にくくなった。

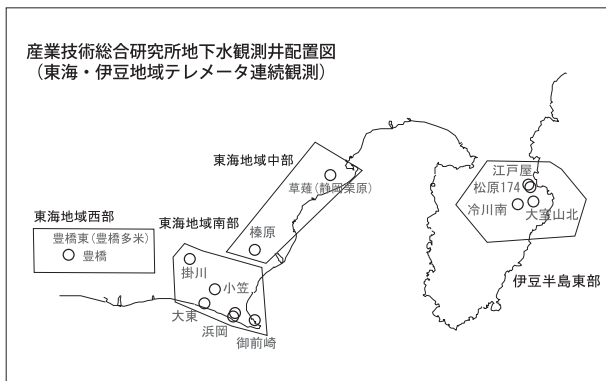
東海地域西部：東海地方周辺で深部低周波微動と短期的ゆっくりすべり起きている期間(第8, 10図にETSで示す)に豊橋多米の歪計データに変化が見られる。

伊豆半島東部地域：松原174号井は静岡県の井戸。松原174の水位計が長期的にドリフト(見かけ上水位増)していることが分かったので、2014年7月4日に新たに産総研の水位計を設置して平行観測している(第11, 12図2段目のグラフ)。2015年3月5日に静岡県の水位計が新しい水晶式のものに更新された(第12図3段目のグラフ)。

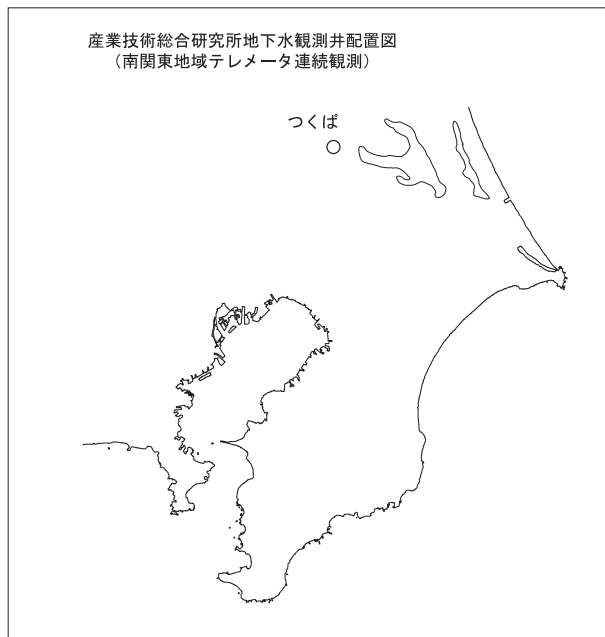
関東地域：つくば2,3,4の水位が例年春から秋に低下するのは、周囲の揚水によると考えられる。

これらのデータはWellWeb (<http://www.gsj.jp/wellweb>) にて公開している。

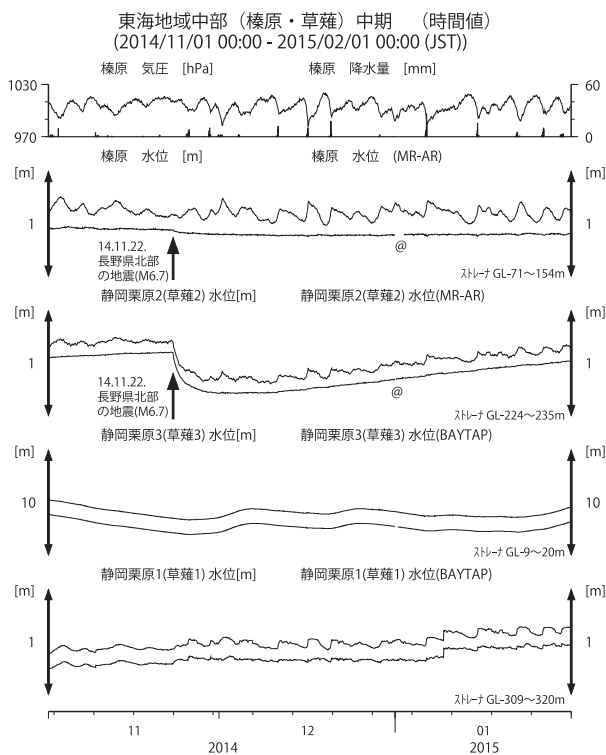
(小泉尚嗣・木口 努・高橋 誠・松本則夫・北川有一・板場智史・落 唯史・佐藤 努)



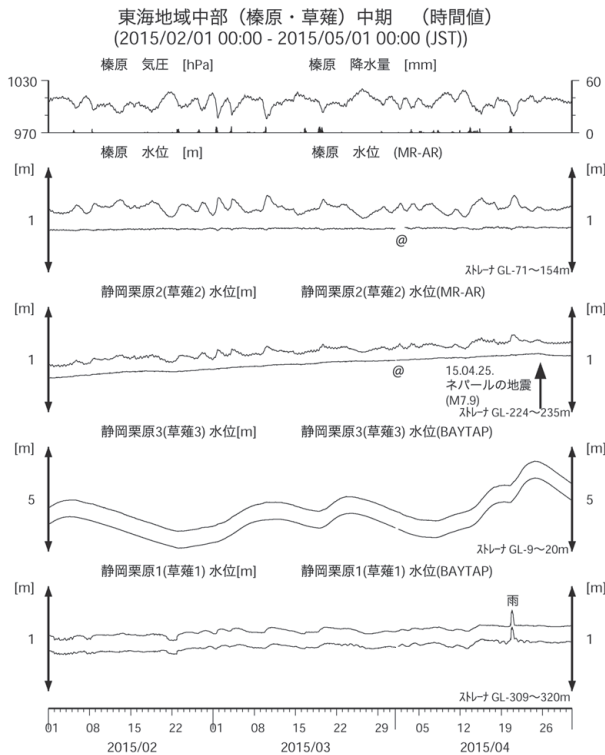
第1図 伊豆・東海地域の産業技術総合研究所地下水等観測井の配置図  
Fig.1 Location of the groundwater observation wells in and around the Tokai and Izu district.



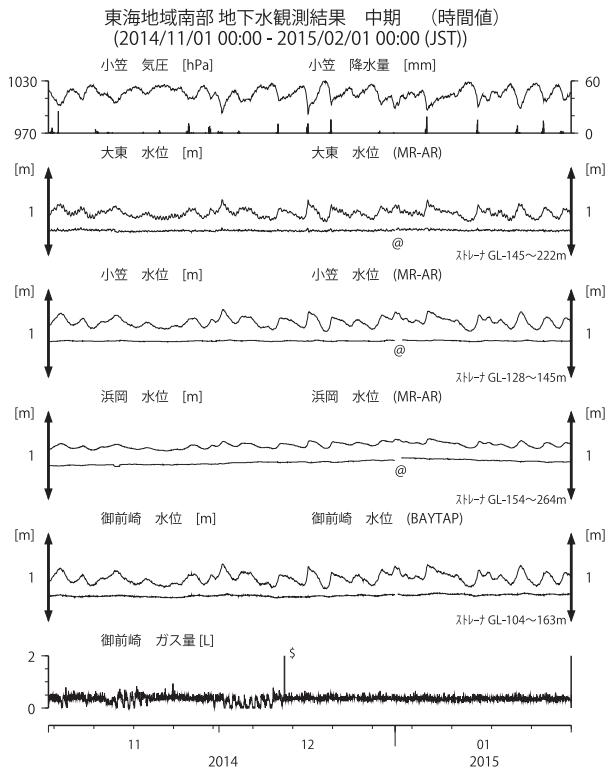
第2図 関東地域の産業技術総合研究所地下水等観測井の配置図  
Fig.2 Location of the groundwater observation wells in the Kanto district.



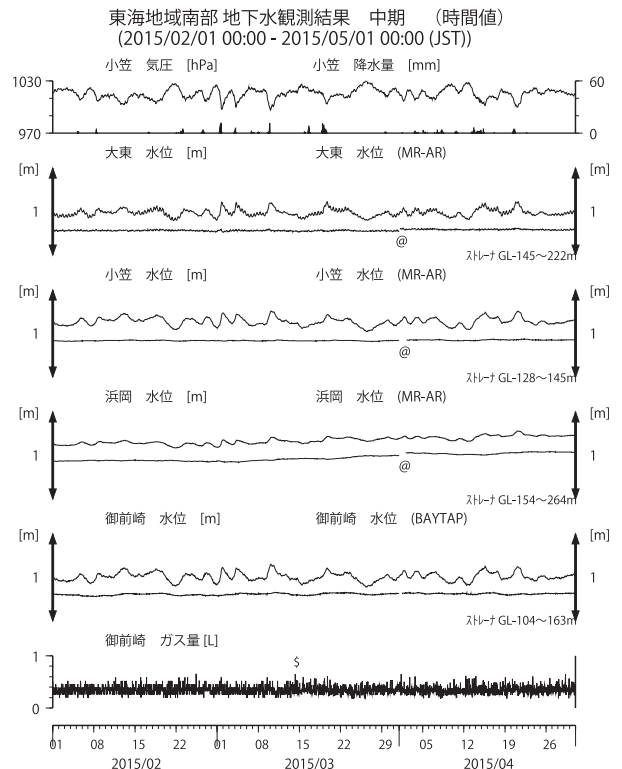
第3図 東海地域中部の地下水等の観測結果(2014年11月～2015年1月)  
Fig.3 Observed groundwater levels and others in the central Tokai district from Nov. 2014 to Jan. 2015.



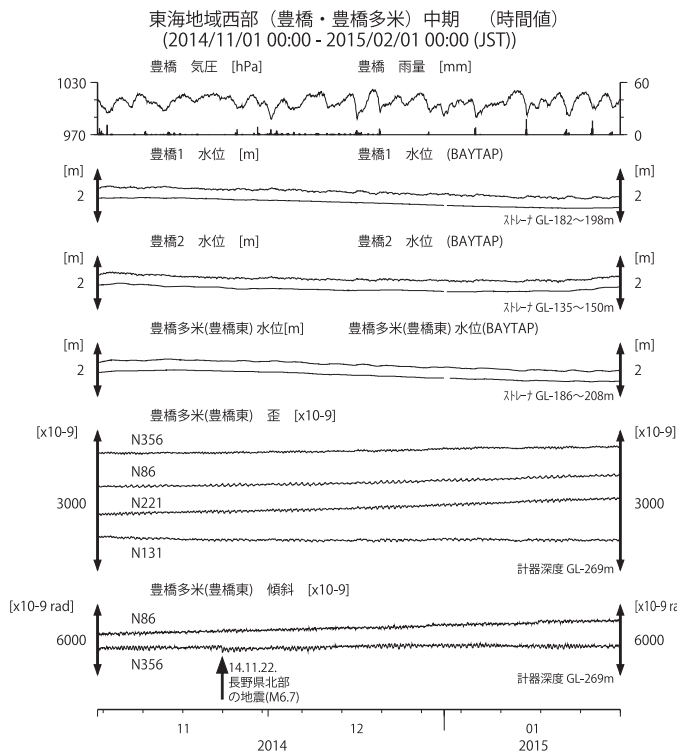
第4図 東海地域中部の地下水等の観測結果(2015年2月～2015年4月)  
Fig.4 Observed groundwater levels and others in the central Tokai district from Feb. 2015 to Apr. 2015.



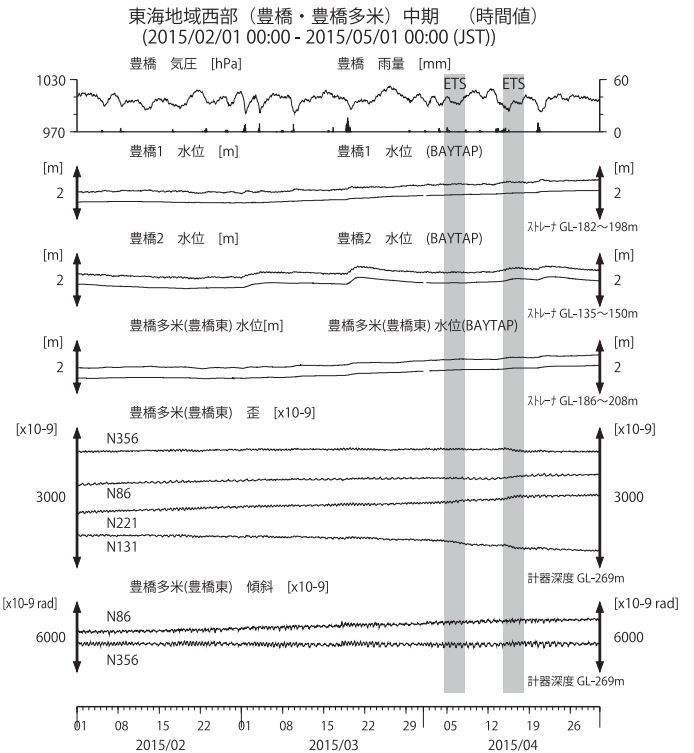
第5図 東海地域南部の地下水等の観測結果(2014年11月～2015年1月)  
Fig.5 Observed groundwater levels and others in the southern Tokai district from Nov. 2014 to Jan. 2015.



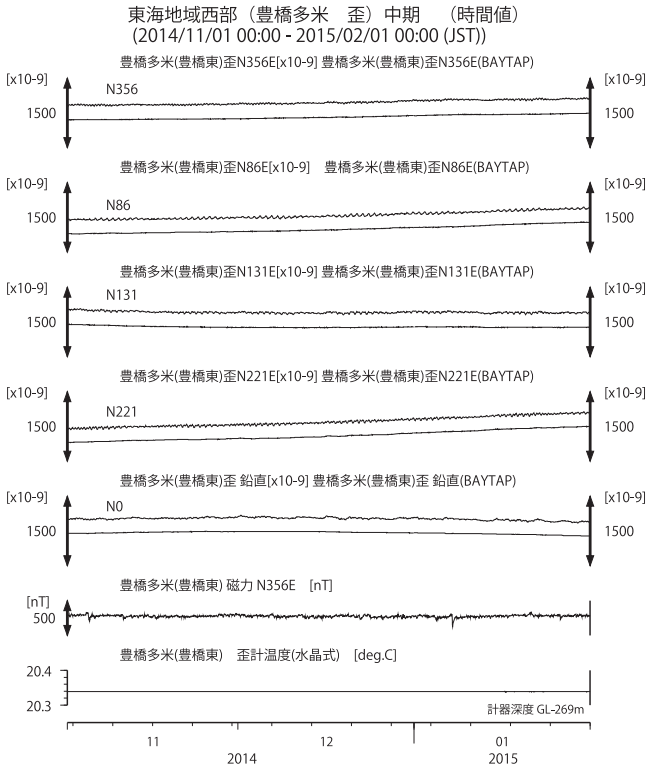
第6図 東海地域南部の地下水等の観測結果(2015年2月～2015年4月)  
Fig.6 Observed groundwater levels and others in the southern Tokai district from Feb. 2015 to Apr. 2015.



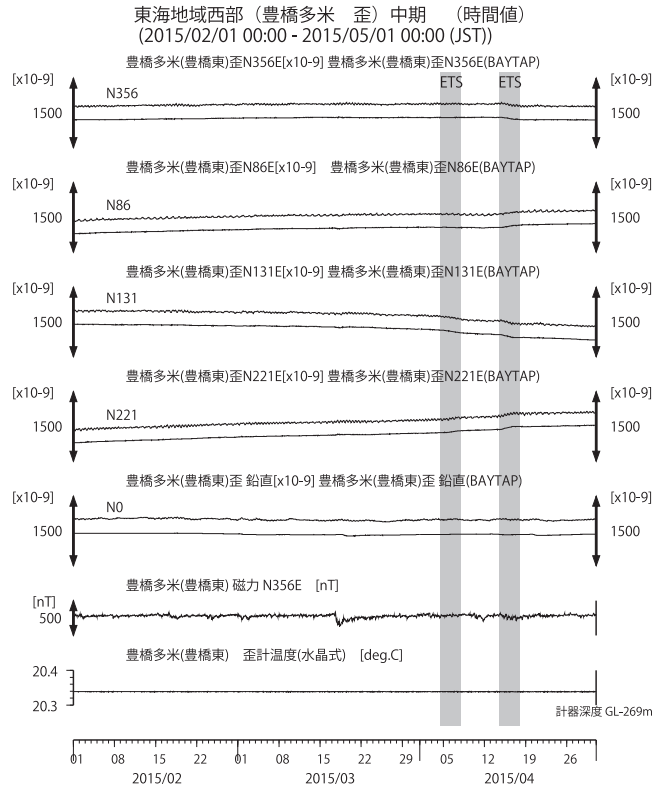
第7図 東海地域西部(豊橋・豊橋多米)の地下水等の観測結果(2014年11月～2015年1月)  
Fig.7 Observed groundwater levels and others at the Toyohashi and Toyohashi-tame observation sites in the western Tokai district from Nov. 2014 to Jan. 2015.



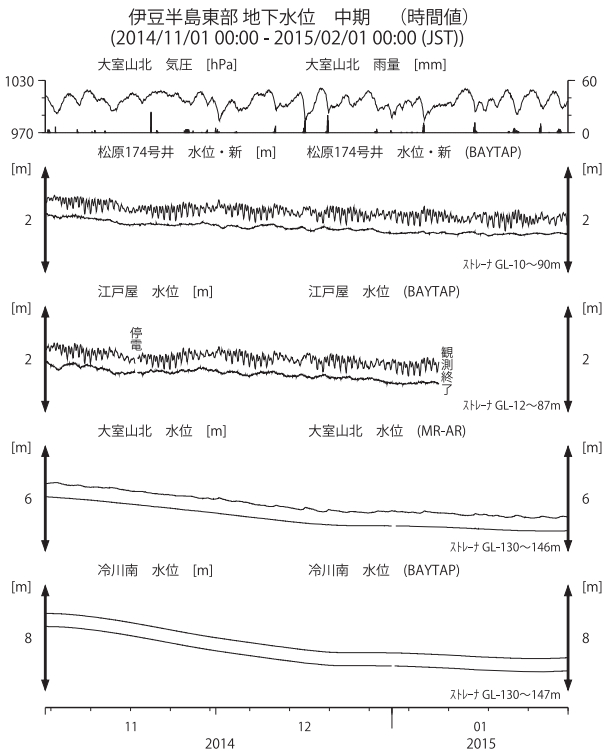
第8図 東海地域西部(豊橋・豊橋多米)の地下水等の観測結果(2015年2月～2015年4月)  
Fig.8 Observed groundwater levels and others at the Toyohashi and Toyohashi-tame observation sites in the western Tokai district from Feb. 2015 to Apr. 2015.



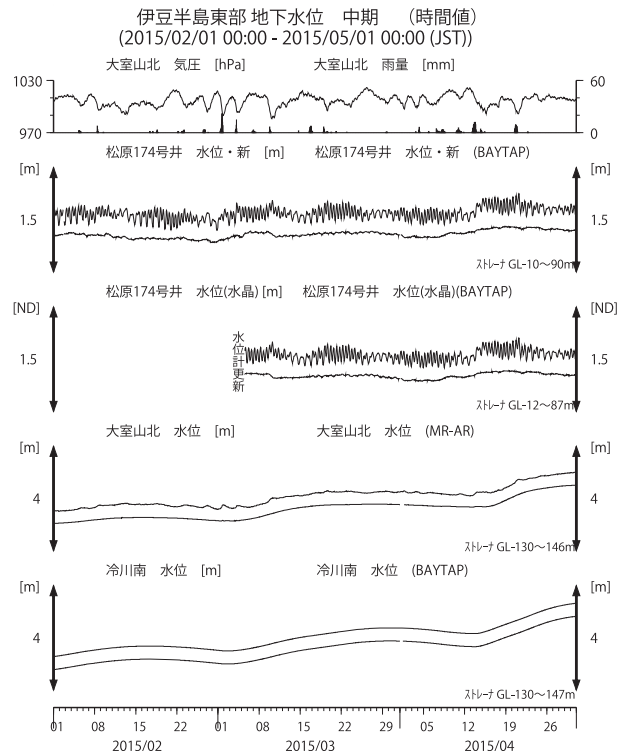
第9図 東海地域西部(豊橋多米)の歪等の観測結果(2014年11月～2015年1月)  
Fig.9 Observed strain and others at the Toyohashi-tame observation site in the western Tokai district from Nov. 2014 to Jan. 2015.



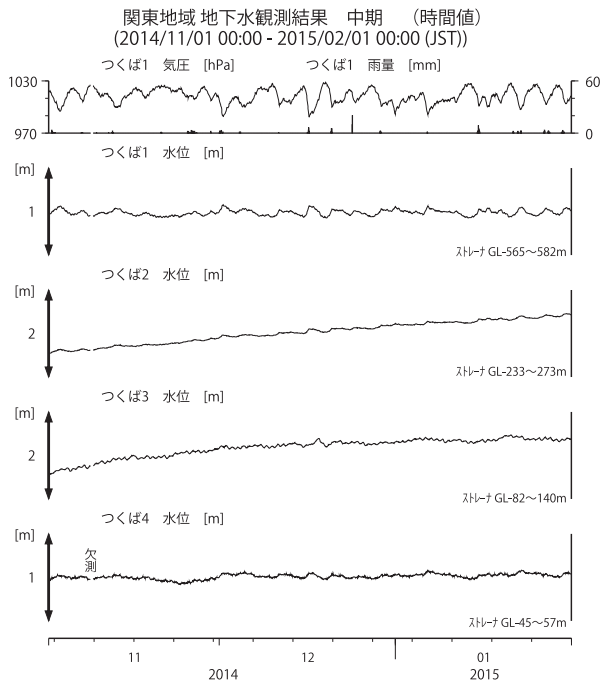
第10図 東海地域西部(豊橋多米)の歪等の観測結果(2015年2月～2015年4月)  
Fig.10 Observed strain and others at the Toyohashi-tame observation site in the western Tokai district from Feb. 2015 to Apr. 2015.



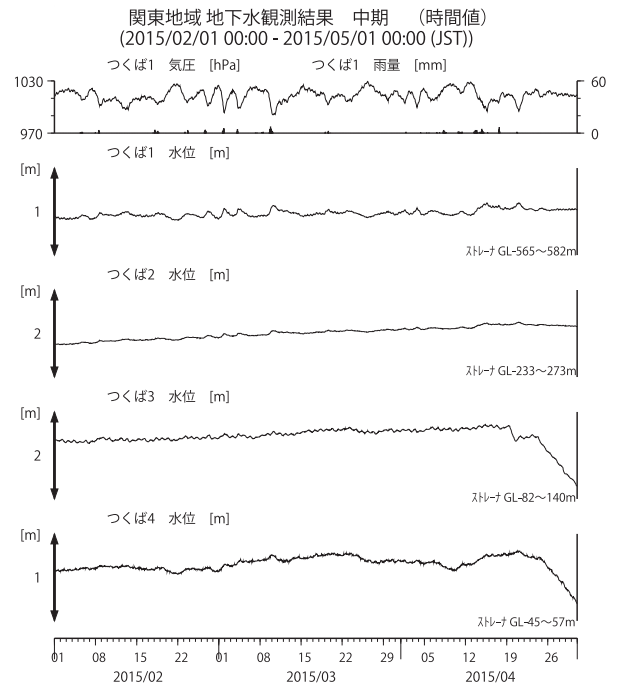
第11図 伊豆半島東部の地下水等の観測結果(2014年11月～2015年1月)  
Fig.11 Observed groundwater levels and others in the eastern Izu peninsula district from Nov. 2014 to Jan. 2015.



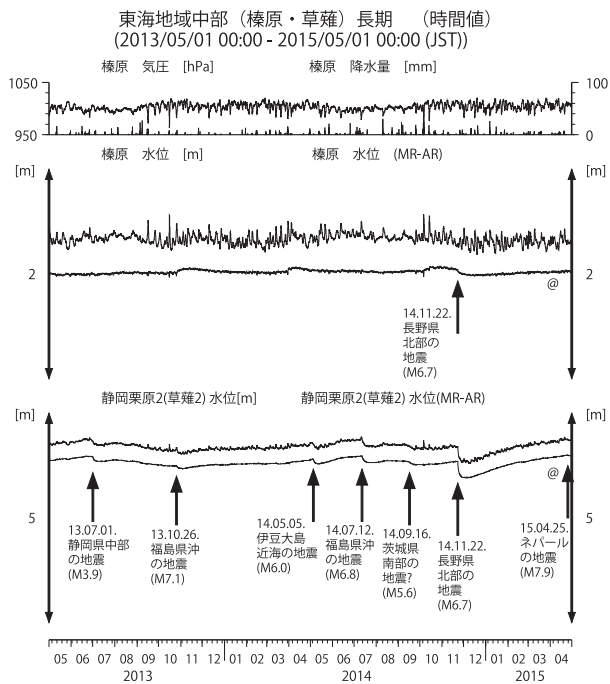
第12図 伊豆半島東部の地下水等の観測結果(2015年2月～2015年4月)  
Fig.12 Observed groundwater levels and others in the eastern Izu peninsula district from Feb. 2015 to Apr. 2015.



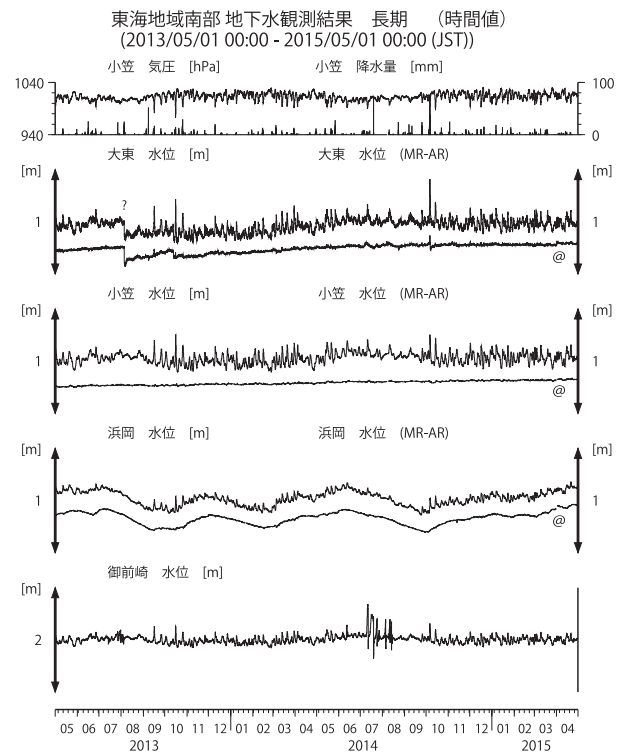
第13図 関東地域の地下水等の観測結果(2014年11月～2015年1月)  
Fig. 13 Observed groundwater levels and others in the Kanto district from Nov. 2014 to Jan. 2015.



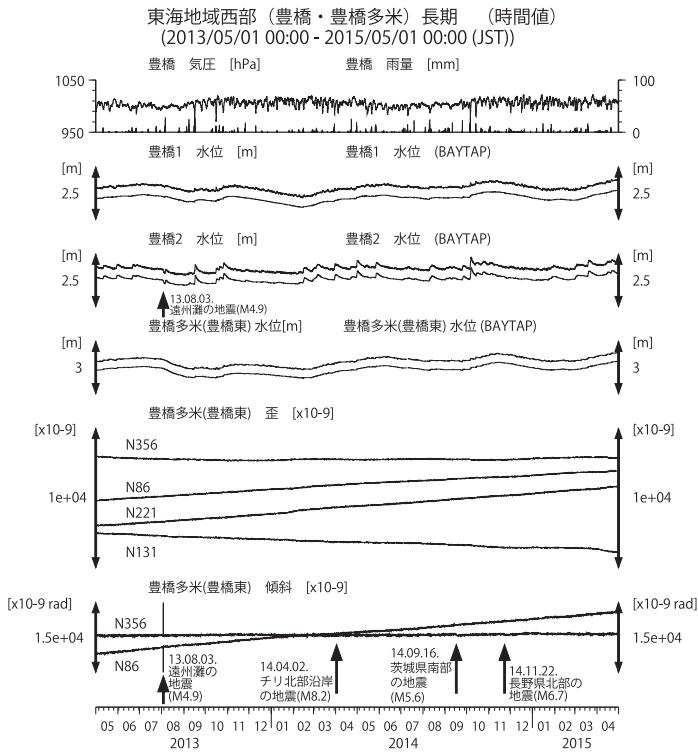
第14図 関東地域の地下水等の観測結果(2015年2月～2015年4月)  
Fig. 14 Observed groundwater levels and others in the Kanto district from Feb. 2015 to Apr. 2015.



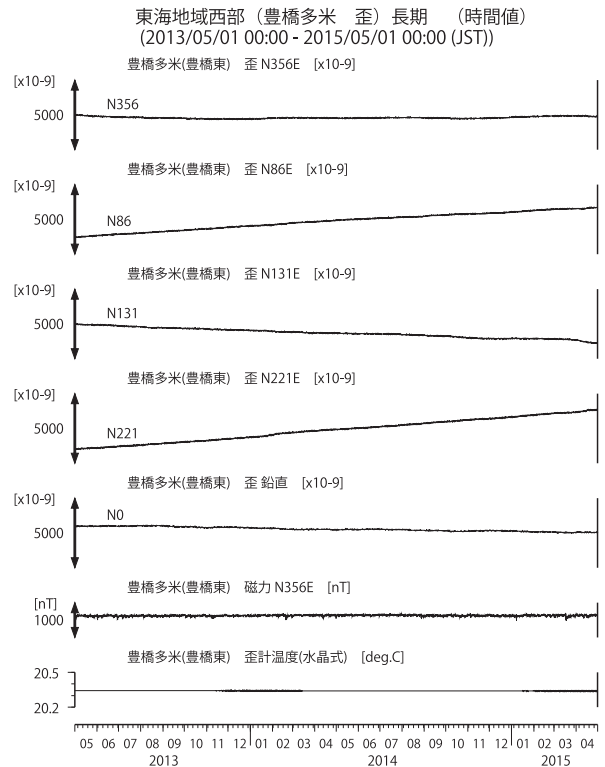
第15図 東海地域中部の地下水等の観測結果(2013年5月～2015年4月)  
Fig. 15 Observed groundwater levels and others in the central Tokai district from May 2013 to Apr. 2015.



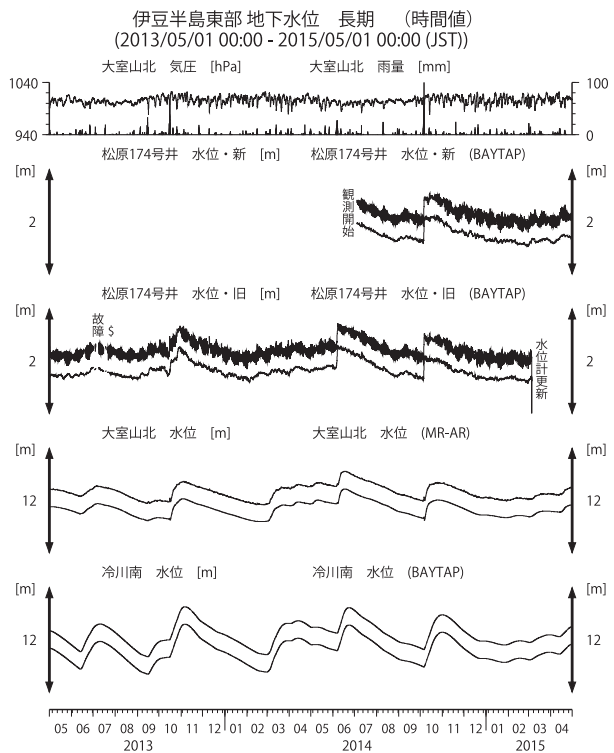
第16図 東海地域南部の地下水等の観測結果(2013年5月～2015年4月)  
Fig. 16 Observed groundwater levels and others in the southern Tokai district from May 2013 to Apr. 2015.



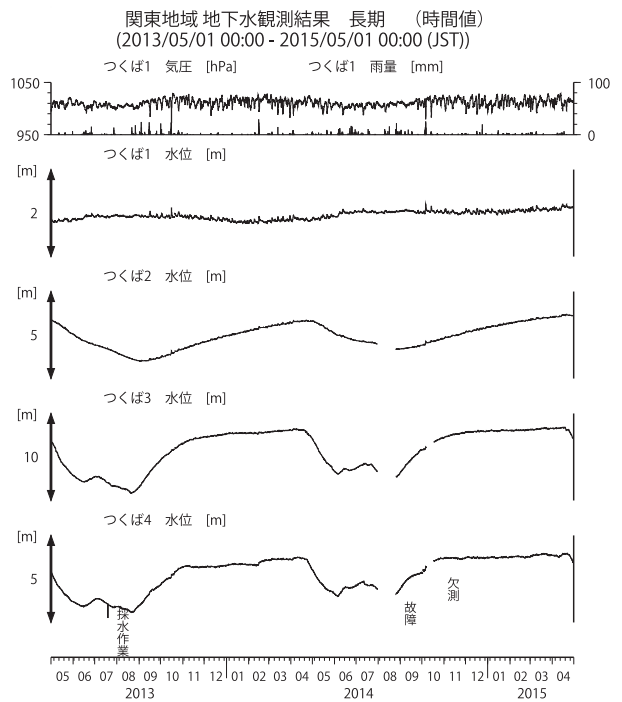
第17図 東海地域西部(豊橋・豊橋多米)の地下水等の観測結果(2013年5月～2015年4月)  
Fig.17 Observed groundwater levels and others at the Toyohashi and Toyohashi-tame observation sites in the western Tokai district from May 2013 to Apr. 2015.



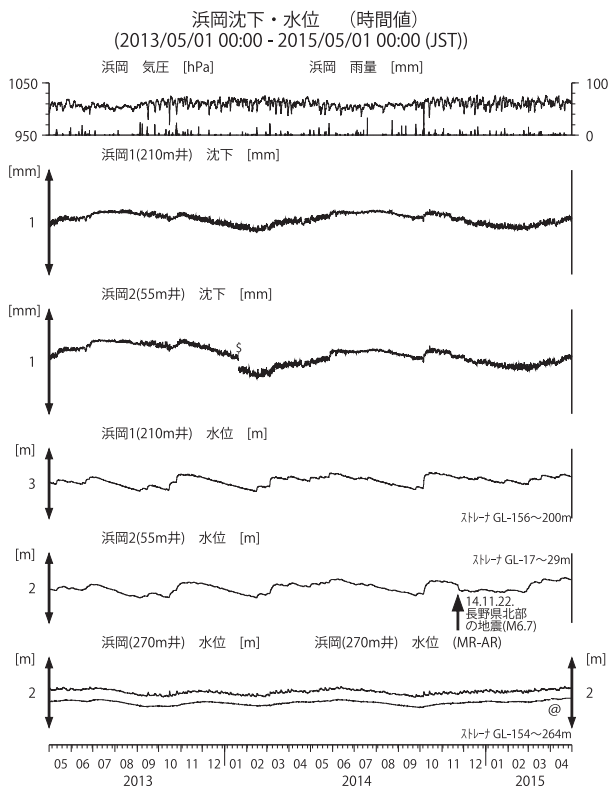
第18図 東海地域西部(豊橋多米)の歪等の観測結果(2013年5月～2015年4月)  
Fig.18 Observed strain and others at the Toyohashi-tame observation site in the western Tokai district from May 2013 to Apr. 2015.



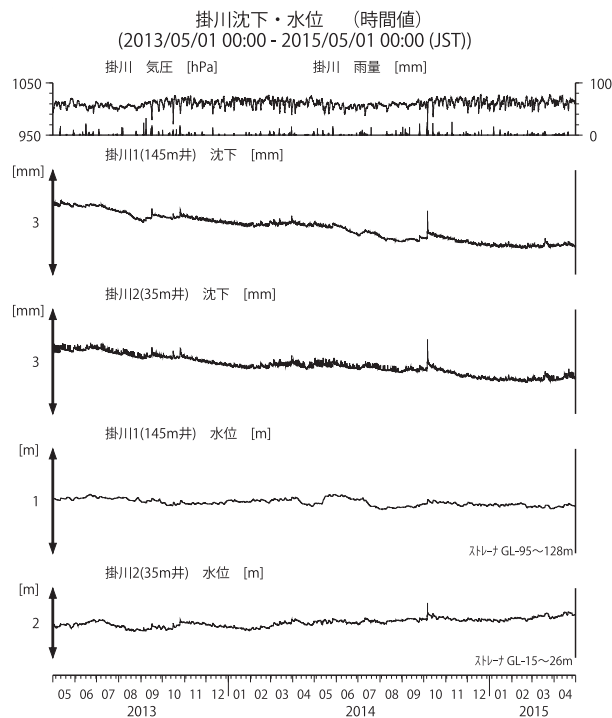
第19図 伊豆半島東部の地下水等の観測結果(2013年5月～2015年4月)  
Fig.19 Observed groundwater levels and others in the eastern Izu peninsula from May 2013 to Apr. 2015.



第20図 関東地域の地下水等の観測結果(2013年5月～2015年4月)  
Fig.20 Observed groundwater levels and others in the Kanto district from May 2013 to Apr. 2015.



第21図 浜岡における沈下等の観測結果(2013年5月～2015年4月)  
Fig.21 Observed subsidence data and others at the Hamaoka observation well from May 2013 to Apr. 2015.



第22図 掛川における沈下等の観測結果(2013年5月～2015年4月)  
Fig.22 Observed subsidence data and others at the Kakegawa observation well from May 2013 to Apr. 2015.